

Utjecaj finoće i postotka iščeska pamučne prede te napetosti pri pletenju na strukturu glatkog kulirnog desno-ljevog pletiva

Prof.dr.sc. **Zlatko Vrljičak**, dipl.ing.

Doc.dr.sc. **Dragana Kopitar**, dipl.ing.

Prof.dr.sc. **Zenun Skenderi**, dipl.ing.

Sveučilište u Zagrebu Tekstilno-tehnološki fakultet,

Zavod za projektiranje i menadžment tekstila

Prilaz baruna Filipovića 28a, 10000 Zagreb, Hrvatska,

e-mail: zlatko.vrljicak@ttf.hr

Prispjelo 10. 3. 2015.

UDK 677.017:677.012.022.025

Izvorni znanstveni rad

Klasičnim postupkom predenja na prstenastoj predilici ispredene su prede od egipatskog pamuka Giza 75 FG finoće 14,3, 16,7, 20,0 i 25,0 tex. Svaka od navedenih preda ispredena je s većim koeficijentom uvijanja i različitim postotkom iščeska 14, 16, 18 i 20 %. Na kružnopletačem jednoigleničnom stroju malog promjera, od navedenih preda izrađene su dvije skupine glatkih kulirnih desno-ljevih pletiva s različitom napetosti prede pri njenom ulasku u pletaći sustav. Prva je skupina uzoraka izrađena s uobičajenom napetosti prede koja se koristi kod izrade ovakvih pletiva (0,15 cN/tex), dok je druga skupina uzoraka izrađena s većom napetosti (0,40 cN/tex). Dobivena mjerena statistički su obrađena i testirana.

Ključne riječi: pamučna češljana preda, postotak iščeska, glatko kulirno desno-ljevo pletivo, napetost prede

1. Uvod

Pamučne jednostrukе prede izrađene su od vlasastih vlakana određenim proizvodnim procesom koji se sastoji od sljedećih faza: priprema vlakana, grebenanje, priprema za češljanje, češljanje, istezanje nakon češljanja, pretpredenje i prstenasto predenje. U fazi češljanja odstranjuje se određeni postotak kratkih vlakana (od 5 do 25%) uz dalje miješanje, uzdužno usmjeravanje i izravnavanje te eventualno čišćenje preostalih nečistoća i čvorića. Veća izravnatost i uzdužna usmjerenošć vlakana, pravilnije raspoređeni krajevi vlakana, te ravnomjerna zastupljenost svih dužina vla-

kana daje predi manju nejednolikost mase i veće iskorištenje čvrstoće vlakana [1]. Postotak vlakana, koji se odstranjuje u fazi češljanja pamuka ovisi o prosječnoj dužini vlakana, postotku kratkih vlakana u uzorku i namjeni prede [2].

Glatka kulirna desno-ljeva pletiva, a posebno gotova pletena odjeća, majice i rublje čine važan dio u tekstilu. Važnost se može objasniti činjenicom da su glatka kulirna desno-ljeva pletiva elastična i imaju lagantu strukturu koja se jednostavno i brzo proizvodi, manju površinsku masu i niže troškove proizvodnje te su zbog glatke površine pogodna za tisak [3]. Jednostrukе pamučne prede finoće 14 do 25

tex najčešće se koriste za izradu pletiva koje se konfekcionara u kvalitetno rublje. Pletiva izrađena od preda finoće 14 i 16 tex može se koristiti za lagantu ljetnu odjeću. Pređama finoće 20 tex izrađuju se pletiva koja su pogodnija za klasično muško rublje, dok se prede finoće 25 tex mogu koristiti za proizvodnju ženskog zimskog rublja. Glatka kulirna desno-ljeva pletiva u svojoj strukturi imaju sve očice jednake po obliku, boji i veličini, tj. izrađena su predom jednake finoće, sirovinskog sastava i strukture. Izrađuju se po načelu da se u jedan red upliće jedna preda.

Pri izradi glatkih kulirnih desno-ljevih pletiva uobičajena je napetost

pređe na ulazu u pletači sustav 0,1 do 0,2 cN/tex. Kod izrade specifičnih ili zahtjevnijih struktura pletiva napetost doseže i do 0,5 cN/tex. Napetost utječe na mnoge karakteristike i svojstva vlakna i pređe, mijenja izvedbu i određuje primjenu proizvoda [4-8]. Duljina pređe koja se upliće u očicu ovisi o dubini povlačenja igle i napetosti pređe u zoni pletenja pri oblikovanju očice [9,10]. Iz toga slijedi da utrošak niti u očici utječe na gustoću očica u smjeru redova i nizova, na površinsku gustoću, pokrivni faktor itd. Preciznim analizama utvrđeno je da utrošak niti u očici ovisi o površinskom koeficijentu trenja pređe i napetosti pređe prilikom oblikovanja očica u zoni pletenja. Finoća pređe utječe na sve navedene parametre, kao i na mnoge druge [11].

Istraženi su osnovni fizikalno-mehanički parametri strukture desno-ljevih pletiva ispletenih od pamučnih češljanih pređa različitih finoća i iščeska s različitim napetostima niti pri pletenju. Radi uklanjanja utjecaja sировine na svojstva pletiva za izradu pređe korišten je egipatski pamuk Giza 75 FG. Također, pređe su ispredene s većim koeficijentom uvijanja. Pletiva ispletena s pređama većih koeficijenata uvijanja najčešće se koriste za lagane, ljetne djeće gornje odjevne predmete.

2. Teoretski dio

Kod analize parametara strukture pletiva značajni su osnovni parametri poput horizontalne gustoće pletiva (D_h), vertikalne gustoće pletiva (D_v), duljina niti u očici (ℓ), debljina pletiva (D_{pl}) i površinska masa pletiva (m) [12, 13]. Uz osnovne parametre najčešće korišteni izvedbeni parametri su: korak očice (A), visina reda očica (B), koeficijent zbijenosti pletiva (C), volumna masa pletiva (V_m) i mase na poroznost pletiva (P_m) [13-15]. Parametri desno-ljevih pletiva prikazani su i objašnjeni jednadžbama (1) do (10).

Skupljanje pletiva u smjeru redova očica nakon skidanja pletiva sa stroja može se računati po jednadžbi:

$$s = \left(1 - \frac{A}{R}\right)100 \quad (1)$$

$$\delta = \frac{\ell}{d} \quad (7)$$

gdje je: s – skupljanje (%), A – korak očice (mm), R – razdjel stroja (mm). Skupljanje glatkog kulrnog desno-ljevog pletiva u smjeru redova očica nakon skidanja sa stroja i relaksacije nakon 72 sata veoma često se nalazi u rasponu 20 do 30 %.

Prema dosadašnjim istraživanjima dobro je poznato da pletiva nakon proizvodnje „dišu“, a naročito prvih 72 sata nakon skidanja s pletačeg stroja. Radi toga je potrebno napraviti suhu relaksaciju, odnosno ostaviti pletiva pod standardnim uvjetima tijekom 72 sata. Nakon procesa relaksacije radi se analiza strukture parametara pletiva [16, 17].

Korak očice (2) i visina reda očica (3) povezane su s gustoćom očica u redu i nizu:

$$A = \frac{M_{jp}}{D_h} \quad (2)$$

$$B = \frac{M_{jp}}{D_v} \quad (3)$$

gdje je: A – korak očice (mm), D_h – horizontalna gustoća pletiva (cm^{-1}); B – visina reda očice (mm), D_v – vertikalna gustoća pletiva (cm^{-1}) M_{jp} – mjerna jedinica (mm).

Utrošak niti u očici (4) [12]:

$$\ell = 1,57 A + d\pi + 2B \quad (4)$$

gdje je: ℓ – utrošak niti u očici dobiten računskim putem (mm), d – debljina pređe (mm)

Barellijska jednadžba (5) za izračunavanje promjera pređe [18]:

$$d = 2\sqrt{\frac{T_t}{\gamma \cdot \pi \cdot 1000}} \quad (5)$$

gdje je: d – prosječna debljina pređe (mm), T_t – finoća pređe (tex), γ – gustoća pređe (g/cm^3)

Pokrivni faktor (C_f) može se dobiti iz jednadžbe (6)[12]:

$$C_f = \frac{\sqrt{T_t}}{l} \quad (6)$$

gdje je: ℓ – utrošak niti u očici (cm). Linearni modul očice:

Površinska masa pletiva (m) u g/m^2 određena je prema sljedećoj jednadžbi (8) [12]:

$$m = Dh \cdot Dv \cdot \ell \cdot Tt \cdot 10^{-2} \quad (8)$$

Zapreminska masa pletiva (9):

$$V_m = \frac{m}{(1000 \cdot D_{pl})} \quad (9)$$

gdje je: V_m – zapreminska masa pletiva (g/cm^3), D_{pl} – debljina pletiva (mm)

Masena poroznost pletiva (10):

$$P_m = \left(1 - \frac{V_m}{\gamma_c}\right)100 \quad (10)$$

gdje je: P_m – masena poroznost pletiva (%), γ_c – gustoća pamučnih vlakana koja je uobičajeno $1,54 \text{ g/cm}^3$.

3. Eksperimentalni dio

Istraživanje je provedeno prema sljedećem planu proizvodnje pređa i pletiva.

U radu su uzorci označeni kako slijedi:

- oznake finoće pređa: C1 je 14,3 tex; C2 je 16,7 tex; C3 je 20,0 tex i C4 je 25,0 tex
- oznake postotka iščeska: N1 je 14%, N2 je 16%, N3 je 18% i N4 je 20%

Pređe finoća 14,3; 16,7; 20,0 i 25,0 tex su ispredene od egipatskog pamuka Giza 75 FG, tab.1.

Svaka od navedenih pređa ispredena je sa različitim postotkom iščeska od 14, 16, 18 i 20%. Ispitana su osnovna fizikalno-mehanička svojstva pređe (sl.1). Stvarna finoća pređa ispitana je u skladu s normom HRN ISO 2060:2003 [19], dok je uvojito ispitana na uređaju MesdanLab Twist tester, prema normi ISO 17202 [20]. Koeficijent uvijanja je izračunat prema jednadžbi (11).

$$\alpha_{tex} = \sqrt{T_t \cdot Tm} \quad (11)$$

gdje je: α_{tex} – koeficijent uvijanja u $\text{m}^{-1}\text{tex}^{1/2}$ i T_m – broj uvoja pređe m^{-1} . Parametri nejednoličnosti pređe određeni su prema normi ISO 16549:2004 [21] na uređaju Keisokki, dok su

Tab.1 Karakteristike pamučnog vlakna
Giza 75 FG [18]

Duljina vlaska (određena masom), mm	25,1
Gornja četvrtina duljine vlakana, mm	29,8
Postotak vlakana kraćih od 11 mm, %	4,8
Koeficijent varijacije duljine vlakana, %	28,7
Finoća, mtex	189
Čvrstoća, cN/dtex	5,4
Indeks zrelosti, %	80

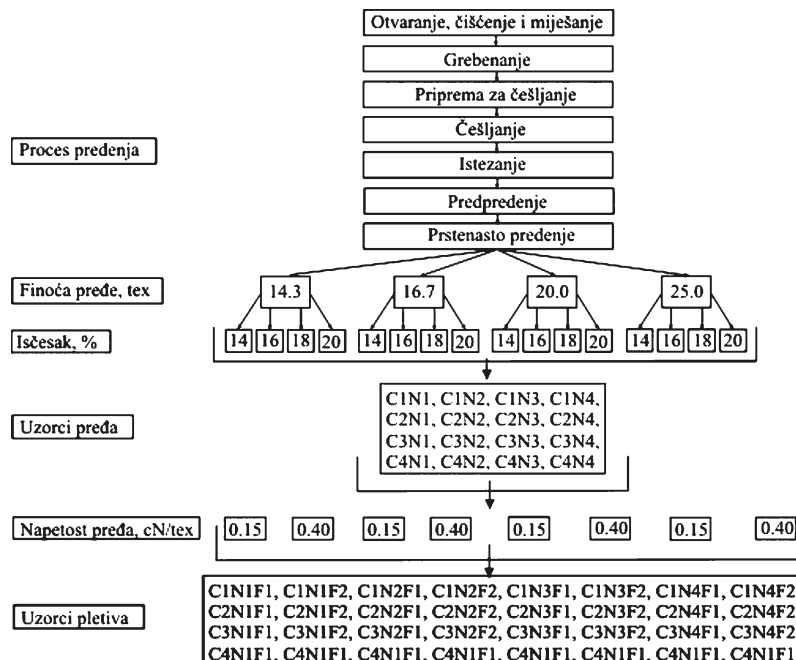
Tab.2 Značajke preuređenog kružnopletačeg stroja na kojem su pleteni uzorci

Značajke kružno pletačeg jednoigleničnog stroja	Vrijednosti
Finoća stroja (E), igala po inču	17
Razdjel stroja (R), mm	1,46
Promjer iglenice, mm (inča)	95 (3 3/4)
Broj igala (N)	200
Radna brzina, ok./min	90

svojstva istezanja ispitana prema normi ISO 2062 [22] na dinamometru Statimat M tt. Textechno. Dlakavost prede određena je registriranjem stršćih vlakana iz strukture prede prema normi ASTM D 5674-01 [23] na uređaju Zweigle G 565.

Na kružnopletačem jednoigleničnom stroju malog promjera određenih konstrukcijskih značajki (tab.2), izrađena su glatka kulirna desno-ljeva pletiva. Na navedenom stroju mogu se plesti kvalitetna pletiva od pamučnih preda finoće od 10 do 30 tex. Za ova istraživanja stroj je preuređen i pleo je samo s jednim pletačim sustavom, pri čemu je jedna preda izrađivala jedan red očica.

Na stroju nije bilo pozitivnog dovođenja niti već su igle reguliranom dubinom kuliranja povlačile određenu duljinu niti. Dubina kuliranja regulirana je za predu finoće 20 tex čime je bilo moguće plasti predama finoće od 14 do 25 tex. Napetost prede regulirana je kočnicom koja je bila smještena 20 cm ispred zone pletenja.



Sl.1 Radni plan izrade preda i pletiva

Ispletene su dvije skupine uzoraka pletiva s različitom napetostu prede koja je mjerena nakon kočnice, oko 15 cm ispred zone pletenja. Prva skupina uzoraka izrađena je s uobičajenom napetosti prede koja se koristi kod izrade ovakvih pletiva i iznosi 0,15 cN/tex. Druga skupina uzoraka pletena je s većom napetosti, koja je iznosila 0,40 cN/tex. Izrađeni su cjevasti uzorci pletiva širine približno 10 cm x 2 i duljine 1m. Za izradu jednog uzorka utrošeno je između 800 i 1200 m prede.

Ispitani su osnovni fizikalno-mehanički parametri desno-ljevih kulirnih pletiva. Horizontalna i vertikalna gustoća pletiva određena je prema normi BS 5441:1998 [24]. Korak i visina reda očice izračunati prema jednadžbama (2) i (3). Utrošak niti u očici određen je prema normi DIN EN 14970 [25]. Debljina prede izračunata je prema Barellijevoj jednadžbi (5). Debljina pletiva određena je prema normi ISO EN 5084:2003 [26]. Jednadžbom (6) izračunati su pokriveni faktori pri čemu je korišten eksperimentalno određeni utrošak niti u očicama. Ukošenosti nizova očica ili spiralnosti pletiva određena je mjerljnjem kuta nagiba niza očica s obzirom na uzdužnu os pletiva. Parametri

linearnog modula očice, površinske mase, zapreminske mase i masene poroznosti pletiva određena je jednadžbama (7) do (10).

4. Rezultati i rasprava

Zbog velikog broja uzoraka i mjerenja, rezultati mjerjenja i rasprava su odvojeno prikazani za prede i pojedine parametre strukture pletiva. Kod mjerjenja značajki prede naglasak je bio na finoći, broju uvoja i svojstvima istezanja prede. Pri analizi pletiva, naglasak je bio na mjerenu parametru strukture pletiva koji su značajni za upotrebu pletiva.

4.1. Prede

Vrijednosti stvarne finoće ispitanih preda, broj uvoja, koeficijent uvijanja, parametri nejednolikosti (koeficijent varijacije mase prede te tanka, debela mesta i čvorici na duljinu od 1000 m prede) i rastezna svojstva prikazani su u tab.3.

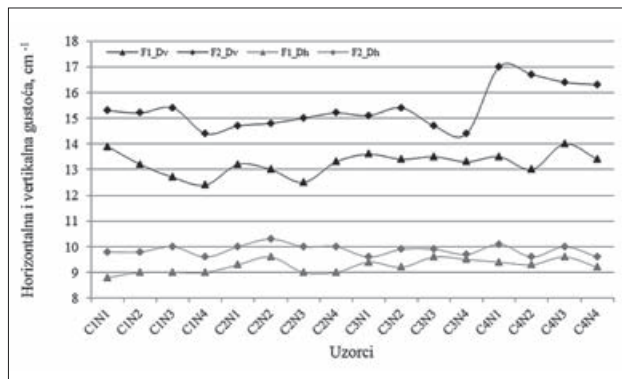
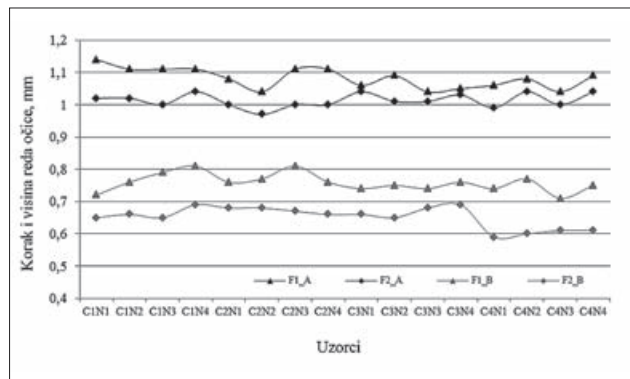
Smanjenjem finoće prede smanjuje se i broj uvoja po jedinici duljine. Koeficijent uvijanja funkcija je vrste vlačana, finoće i namjene prede. U ovom istraživanju koeficijent uvijanja prede određen je jednadžbom (11). Empirijски određeni koeficijenti uvijanja pre-

Tab.3 Parametri ispitivanih pređa

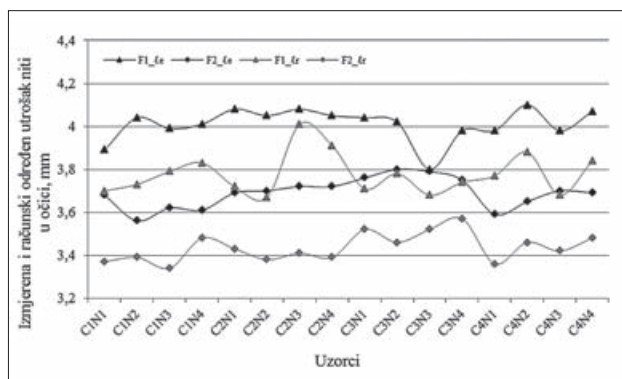
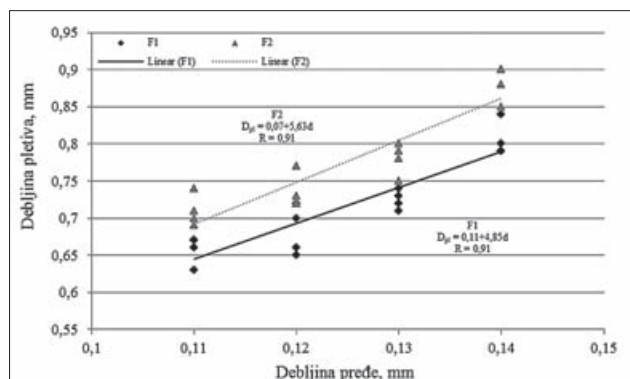
Uzorci		T_{ts} Tex	T_m m^{-1}	a_{tex} $m^{-1}tex^{1/2}$	Nejed-nolikost $CV_m, \%$	Vlačna svojstva				
						F, cN	$\epsilon, \%$	$\sigma, cN/tex$	W, $cN \times cm$	
Finoća, tex	Iščesak, %	14	14,0	1008	3770	15,2	221	4,85	15,8	267
		16	14,7	1007	3860	15,9	242	4,87	16,1	291
		18	14,4	991	3760	17,4	211	4,40	15,1	238
		20	13,3	1007	3670	15,3	268	5,10	16,8	327
Srednja vrijednost		14,1	1003	3760	15,9	236	4,81	16,0	281	
16	Iščesak, %	14	16,9	951	3920	15,4	260	5,09	15,3	314
		16	17,1	956	3950	14,1	284	5,14	16,7	352
		18	17,4	940	3920	16,0	280	5,23	16,5	333
		20	16,1	963	3860	15,4	210	4,74	16,1	249
Srednja vrijednost		16,9	953	3920	15,2	259	5,05	16,2	312	
20	Iščesak, %	14	21,0	907	4160	14,2	380	6,00	18,1	528
		16	20,9	886	4050	14,3	381	6,02	18,1	519
		18	20,8	887	4050	14,9	346	5,41	17,3	445
		20	19,7	906	4020	12,3	360	5,56	17,9	478
Srednja vrijednost		20,6	897	4080	13,9	367	5,75	17,9	493	
25	Iščesak, %	14	24,6	822	4110	13,4	450	5,95	18,0	628
		16	23,6	812	3950	12,5	436	6,48	18,2	612
		18	21,4	771	3570	12,9	402	5,31	16,1	518
		20	24,7	814	4050	12,9	424	5,92	16,9	589
Srednja vrijednost		23,6	805	3920	12,9	428	5,92	17,3	588	

da su u rasponu od 3570 do 4160 $m^{-1}tex^{1/2}$. Srednje vrijednosti koeficijenta uvijanja su sljedeće: C1 (14 tex) 3760; C2 (16 tex) 3920; C3 (20 tex) 4080 i C4 (25 tex) 3920 $m^{-1}tex^{1/2}$.

Utjecaj većeg koeficijenta uvijanja odnosno broja uvoja na čvrstoću pređe je vidljiv iz rezultata prikazanih u tab.2. Naime, s povećanjem faktora uvijanja i broja vlakana u poprečnom presjeku, sila trenja između vlakana raste čime se povećava čvrstoće pređe. Koeficijent uvijanja uzorka C4 (25 tex) je manji s obzirom na uzorka C3 (20 tex) pa se čvrstoća uzorka C3 relativno smanjuje. Također, s povećanjem faktora uvijanja s istovremenim smanjenjem finoće pređe (veći broj vlakana u poprečnom presjeku) dovodi do povećanja prekidnog istezanja. Dobiven je značajno veći rad prekida pređa čak za 109,3 % ($W_{C4} - W_{C1}/W_{C4}$) smanjenjem finoće pređe. Kod odjevnih predmeta poput dječjih majica, veći rad prekida daje veću trajnost.

Sl.2 Horizontalna (D_h) i vertikalna gustoća (D_v) pletiva

Sl.3 Korak (A) i visina reda oćice (B)

Sl.4 Izmjereni (l_e) i računski određeni utrošak niti u oćici (l_r)Sl.5 Debljina pletiva (D_p) u ovisnosti o debljini prede (d) s različitim napetostima prede na ulazu u pletači sistem

Nejednolikost mase smanjuje se smanjenjem finoće prede. Uzorak C1N3 ima veću nejednolikost zbog periodičnih grešaka uzrokovanih ekscentričnošću valjaka isteznog uređaja prstenaste predilice. Utjecaj postotka iščeska na koeficijent varijacije mase prede je zanemariv. Nije vidljiv značajan utjecaj postotka iščeska na dlavavost ispitanih pamučnih češljanih preda (provedbom t-testa).

4.2. Glatka kulirna desno-ljeva pletiva

U tab.4 navedeni su parametri horizontalne i vertikalne gustoće pletiva, koraka i visina reda očica, utroška niti u očici, debljine prede, debljine pletiva i pokrivnog faktora.

Horizontalna i vertikalna gustoća, korak i visina reda očice

Izračunato skupljanje pletiva u smjeru redova očica nakon skidanja sa stroja i oporavka iznosi 22 do 32% (jednadžba 1). Kod glatkih kulirnih desno-ljevih pletiva gustoća očica u nizu (D_v) uvijek je veća od gustoće očica u redu (D_h) (tab.4, sl.2). Gustoća očica u smjeru redova (D_h) je u rasponu od 8,8 do 10,3 oč./cm. Uzorci pleteni s manjom napetosti prede na ulazu u pletaći sistem (0,15 cN/tex) uglavnom imaju veći korak očice (A) u području od 1,04 do 1,14 mm u usporedbi s uzorcima pletenim s većom napetošću prede (0,40 cN/tex), koji je u rasponu od 0,97 do 1,04 mm (sl.3). Gustoće očica u smjeru nizova (D_v) su u rasponu od 12,4 do 16,7 oč./cm. Visina reda očica (B) kod uzorka pletenih manjom napetošću prede u rasponu su od 0,71 do 0,81 mm, dok pletenih s većom napetošću, od 0,59 do 0,69 mm. Znači, s povećanjem napetosti prede tijekom pletenja gustoća očica u smjeru redova (D_h) i korak očice (A) značajno se ne mijenjaju, dok se gustoća očica u smjeru nizova (D_v) i visina reda očica (B) značajno mijenjaju i na taj način bitno utječu, u prvom redu na svojstva istezanja pletiva. Druga istraživanja su dala slične rezultate, gdje promjer prede i duljina niti u očici imaju di-

Tab.4 Parametri pletiva od ispitivanih preda i uz određene napetosti pri pletenju

Uzorci			Parametri pletiva			
Finoća prede, tex	Iščesak, %	Napetost prede pri pletenju, cN/tex	D_h , cm ⁻¹	D_v , cm ⁻¹	A, mm	B, mm
14,3	14	0,15	8,8	13,9	1,14	0,72
	16		9,0	13,2	1,11	0,76
	18		9,0	12,7	1,11	0,79
	20		9,0	12,4	1,11	0,81
	Srednja vrijednost		9,0	13,1	1,12	0,77
14,3	14	0,40	9,8	15,3	1,02	0,65
	16		9,8	15,2	1,02	0,66
	18		10,0	15,4	1,00	0,65
	20		9,6	14,4	1,04	0,69
	Srednja vrijednost		9,8	15,1	1,02	0,66
16,7	14	0,15	9,3	13,2	1,08	0,76
	16		9,6	13,0	1,04	0,77
	18		9,0	12,5	1,11	0,81
	20		9,0	13,3	1,11	0,76
	Srednja vrijednost		9,2	13,0	1,09	0,78
16,7	14	0,40	10,0	14,7	1,00	0,68
	16		10,3	14,8	0,97	0,68
	18		10,0	15,0	1,00	0,67
	20		10,0	15,2	1,00	0,66
	Srednja vrijednost		10,1	14,9	0,99	0,67
20,0	14	0,15	9,4	13,6	1,06	0,74
	16		9,2	13,4	1,09	0,75
	18		9,6	13,5	1,04	0,74
	20		9,5	13,3	1,05	0,76
	Srednja vrijednost		9,4	13,5	1,06	0,75
20,0	14	0,40	9,6	15,1	1,04	0,66
	16		9,9	15,4	1,01	0,65
	18		9,9	14,7	1,01	0,68
	20		9,7	14,4	1,03	0,69
	Srednja vrijednost		9,8	14,9	1,02	0,67
25,0	14	0,15	9,4	13,5	1,06	0,74
	16		9,3	13,0	1,08	0,77
	18		9,6	14,0	1,04	0,71
	20		9,2	13,4	1,09	0,75
	Srednja vrijednost		9,4	13,5	1,07	0,74
25,0	14	0,40	10,1	17,0	0,99	0,59
	16		9,6	16,7	1,04	0,60
	18		10,0	16,4	1,00	0,61
	20		9,6	16,3	1,04	0,61
	Srednja vrijednost		9,8	16,6	1,02	0,60

rekstan utjecaj na redove i nizove po jedinici duljine [27, 28].

Duljina niti u očici

Utrošak niti, odnosno prede u očici ovisi o dubini kuliranja koja se regulira prema finoći prede i namjeni proizvoda. Na jednom stroju izrađen manji utrošak niti u očici daje kom-

paktniju strukturu pletiva i veću gustoću očica i obrnuto [27]. Za potrebe ovog istraživanja izrađena su pletiva s jednom dubinom kuliranja i dvije napetosti niti kod pletenja, zbog čega su nastali i različiti utrošci niti za oblikovanje očice.

U ovim istraživanjima utrošak niti u očici iznosi 3,56 do 4,10 mm (tab.5,

Tab.5 Parametri pletiva od ispitivanih pređa i uz određene napetosti pri pletenju

Uzorci			Parametri pletiva					
Finoća pređe, tex	Iščesak, %	Napetost pređe pri pletenju, cN/tex	ℓ_e mm	ℓ_r mm	$\Delta\ell$ %	d mm	D_{pl} mm	C_f tex $^{1/2}\text{cm}^{-1}$
14	14	0,15	3,89	3,70	4,9	0,11	0,67	9,72
	16		4,04	3,73	7,7		0,66	9,36
	18		3,99	3,79	5,0		0,67	9,48
	20		4,01	3,83	4,5		0,63	9,43
Srednja vrijednost			3,98	3,76	5,5	0,11	0,66	9,50
14	14	0,40	3,68	3,37	1,6	0,11	0,70	10,28
	16		3,56	3,39	4,8		0,71	10,62
	18		3,62	3,34	7,7		0,74	10,45
	20		3,61	3,48	3,6		0,69	10,48
Srednja vrijednost			3,62	3,40	4,4	0,11	0,71	10,46
16	14	0,15	4,08	3,72	8,8	0,12	0,70	10,02
	16		4,05	3,67	9,4		0,72	10,09
	18		4,08	4,01	1,7		0,65	10,02
	20		4,05	3,91	3,5		0,66	10,09
Srednja vrijednost			4,07	3,83	5,9	0,12	0,68	10,06
16	14	0,40	3,69	3,43	7,0	0,12	0,73	11,07
	16		3,70	3,38	8,6		0,77	11,04
	18		3,72	3,41	8,3		0,72	10,99
	20		3,72	3,39	8,9		0,72	10,99
Srednja vrijednost			3,71	3,40	8,2	0,12	0,74	11,02
20	14	0,15	4,04	3,71	8,2	0,13	0,74	11,07
	16		4,02	3,78	6,0		0,71	11,12
	18		3,80	3,68	3,2		0,72	11,77
	20		3,98	3,74	6,0		0,73	11,24
Srednja vrijednost			3,96	3,73	5,9	0,13	0,73	11,30
20	14	0,40	3,76	3,52	6,4	0,13	0,80	11,89
	16		3,80	3,46	8,9		0,75	11,77
	18		3,79	3,52	7,1		0,79	11,80
	20		3,75	3,57	4,8		0,78	11,93
Srednja vrijednost			3,78	3,52	6,8	0,13	0,78	11,85
25	14	0,15	3,98	3,77	5,3	0,14	0,84	12,56
	16		4,10	3,88	5,4		0,79	12,20
	18		3,98	3,68	7,5		0,80	12,56
	20		4,07	3,84	5,7		0,79	12,29
Srednja vrijednost			4,03	3,79	6,0	0,14	0,81	12,40
25	14	0,40	3,59	3,36	6,4	0,14	0,90	13,93
	16		3,65	3,46	5,2		0,88	13,70
	18		3,70	3,42	7,6		0,90	13,51
	20		3,69	3,48	5,7		0,85	13,55
Srednja vrijednost			3,66	3,43	6,2	0,14	0,88	13,67

sl.4). Pri pletenju s manjom napetost i utrošak niti u očici iznosi 3,80 do 4,10 mm, a pri pletenju s većom napetost, utrošak niti u očici je u rasponu od 3,56 do 3,80 mm. Znači, povećanjem napetost niti pri pletenju, značajno se smanjuje utrošak niti za oblikovanje očice što je potvrđeno t-testom pri stupnju signifikantnosti $p=0,05$.

Utrošak niti u očici može se odrediti i računski, npr. pomoću jednadžbe 4, i potom usporediti dobivene rezultate. Vrijednosti različita izmjerena i izračunatih utrošaka niti u očici ($\Delta\ell$) navedeni su u tab.5. Ove razlike su također značajne. Postoje različiti oblici jednadžbi za računanje utrošaka niti u očici [13, 14 i 28]. Jednadžba (4) koja je korištena u ovom istraži-

vanju za izračun utroška niti u očici, je najčešće korištena jednadžba prvenstveno zbog svoje jednostavnosti i praktičnosti. U toj jednadžbi koriste se dva parametra pletiva, jedan parametar pređe te uz njih tri različita koeficijenta. Jednadžba je izvedena pod određenim uvjetima, u prvom redu promatrajući očicu u jednoj ravni. Korak očice (jednadžba 2) odre-

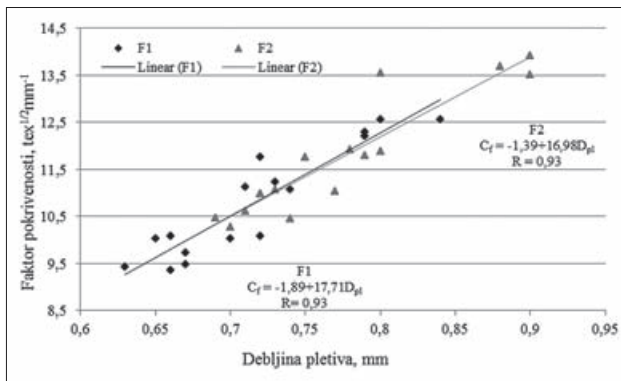
Tab.6 Linearni modul očice, ukošenost nizova očica, spiralnost, površinska masa, volumna masa i masena poroznosti pletiva

Uzorci			Parametri pletiva					
Finoća prede, tex	Iščesak, %	Napetost prede pri pletenju, cN/tex	δ	α, °	β, °	m, g/m²	V _m , g/cm³	P _m , %
14	14	0,15	25,9	67	-23	70	0,104	93,2
	16		26,9	69	-21	66	0,100	93,5
	18		26,6	69	-21	63	0,094	93,9
	20		26,7	70	-20	57	0,090	94,2
Srednja vrijednost			26,5	69	-21	64	0,097	93,7
14	14	0,40	24,5	68	-22	72	0,103	93,3
	16		23,7	68	-22	82	0,115	92,5
	18		24,1	67	-23	73	0,099	93,6
	20		24,1	69	-21	62	0,090	94,2
Srednja vrijednost			24,1	68	-22	72	0,102	93,4
16	14	0,15	25,5	71	-19	83	0,119	92,3
	16		25,3	68	-22	83	0,115	92,5
	18		25,5	72	-18	78	0,120	92,2
	20		25,3	72	-18	69	0,105	93,2
Srednja vrijednost			25,4	71	-19	78	0,115	92,6
16	14	0,40	23,1	73	-17	89	0,122	92,1
	16		23,1	69	-21	97	0,126	91,8
	18		23,3	73	-17	89	0,124	91,9
	20		23,3	71	-19	91	0,126	91,8
Srednja vrijednost			23,2	71	-19	92	0,125	91,9
20	14	0,15	22,4	71	-19	112	0,151	90,2
	16		22,3	74	-16	102	0,144	90,6
	18		21,1	72	-18	103	0,143	90,7
	20		22,1	71	-19	106	0,145	90,6
Srednja vrijednost			22,0	72	-18	106	0,146	90,5
20	14	0,40	20,9	72	-18	109	0,136	91,2
	16		21,1	75	-15	117	0,156	89,9
	18		21,1	73	-17	115	0,146	90,5
	20		20,8	72	-18	108	0,138	91,0
Srednja vrijednost			21,0	73	-17	112	0,144	90,7
25	14	0,15	19,9	72	-18	126	0,150	90,3
	16		20,5	74	-16	126	0,159	89,7
	18		19,9	73	-17	122	0,153	90,1
	20		20,4	75	-15	118	0,149	90,3
Srednja vrijednost			20,2	74	-16	123	0,153	90,1
25	14	0,40	20,0	74	-16	155	0,172	88,8
	16		18,3	76	-14	143	0,163	89,4
	18		18,5	75	-15	145	0,161	89,5
	20		18,5	77	-13	135	0,159	89,7
Srednja vrijednost			18,8	75	-15	145	0,164	89,4

đen je iz horizontalne gustoće pletiva (D_h), visina reda očica (jednadžba 3) iz vertikalne gustoće pletiva (D_v), a debljina prede pomoću Barellijeve jednadžbe (jednadžba 5). Npr. za uzorak C1N1F1, eksperimentalno je određen utrošak niti u očici koji iznosi 3,89 mm, a korištenjem jednadžbe 4 dobiven je utrošak niti u očici 3,70 mm ili 4,9 % manji. Korištenjem na-

vedene jednadžbe za računanje utroška niti u očici, za sve uzorce vrijedi da su računski podaci manji od eksperimentalnih, i to u rasponu od 1,6 do 9,4 %, odnosno u prosjeku oko 6,5 %. Ovi podaci upućuju na zaključak da se jednadžbom (4) najbolje ne opisuju oblici očica u izrađenim pletivima. Ako se žele dobiti manje razlike između eksperimentalnih i računskih

podataka, tada bi trebalo koristiti jednadžbu koja točnije opisuje analiziranu strukturu pletiva, odnosno jednadžbu koja razmatra očicu smještenu u prostoru, tj. u tri ravnine pri čemu bi značajan parametar bio debljina pletiva (D_p). Duljina niti u očici je najvažniji parametar koji utječe na gustoću u smjeru nizova i redova i druge variable poput pokrivenog fak-



Sl.6 Pokrivni faktor pletiva (C_f) u ovisnosti o debljini pletiva (D_{pl}) ispletenih s različitim napetostima na ulazu u pletači sistem

tora, linearne gustoće, gustoće očica, debljinu, svojstva istezanja pletiva itd. [27, 28].

Debljina pletiva i pokrivni faktor

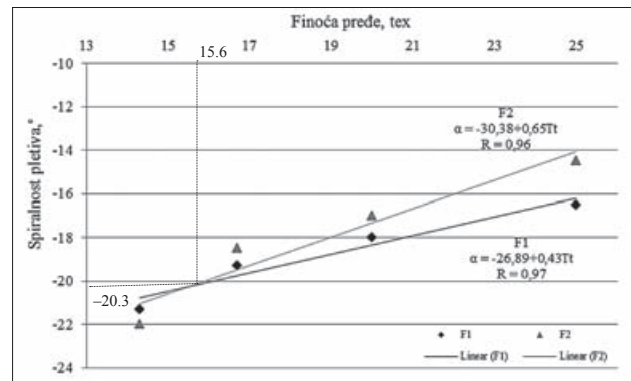
Pletiva izrađena s većom napetošću niti, odnosno prede kod pletenja imaju manji utrošak niti u očici i veću debljinu pletiva, što znači da sila napetosti na ulazu u pletači sustav utječe na geometrijski oblik očice. U nekim teorijskim razmatranjima debljina ovakvih glatkih kulrnih desno-ljevih pletiva je dva do tri puta veća od debljine prede [12]. U ovom istraživanju debljina pletiva je od 5,4 do 6,8 puta veća od prosječne debljine prede, što ponovo upućuje na zaključak da se za precizna istraživanja geometrijski oblik očice treba promatrati u tri dimenzije (tab.5, sl.5). Statističkom obradom podataka dobivena je zakonitost utjecaja debljine prede i napetosti kod pletenja na debljinu pletiva. Kod napetosti prede na ulazu u pletači sustav 0,15 cN/tex, jednadžba za računanje pokrivnog faktora, u ovisnosti o debljini pletiva, ima oblik:

$$D_{pl15} = 0,11 + 4,85d; R = 0,91; \\ 0,11 \leq d \leq 0,14,$$

a kod napetosti niti 0,40 cN/tex, jednadžba ima oblik:

$$D_{pl40} = 0,07 + 5,63d; R = 0,91; \\ 0,11 \leq d \leq 0,14$$

Pokrivni faktor se računao po jednadžbi (6) pri čemu je utrošak niti u očici izražen u cm. U ovim istraživanjima pokrivni faktor se nalazi u području od 9,36 do 13,93 tex^{1/2}cm⁻¹



Sl.7 Spiralnost pletiva (α)

(tab.5) i smanjuje se s porastom finoće prede. Pletiva ispletena s većom napetošću prede imaju i viši pokrivni faktor jer je pri takvom pletenju doiven manji utrošak niti u očici. Slične rezultate dobili su još neki istraživači [29]. Statističkom obradom podataka uočava se povezanost pokrivnog faktora i debljine pletiva pa su izračunate matematičke ovisnosti ovih parametara (sl.6). Kod izrade pletiva s napetosti niti 0,15 cN/tex, jednadžba za računanje pokrivnog faktora, u ovisnosti o debljini pletiva, ima oblik:

$$C_{f15} = -1,89 + 17,7 D_{pl}; R = 0,93; \\ 0,60 \leq D_{pl} \leq 0,90,$$

a kod napetosti niti 0,40 cN/tex, jednadžba ima oblik:

$$C_{f40} = -1,39 + 16,98 D_{pl}; R = 0,93; \\ 0,60 \leq D_{pl} \leq 0,90.$$

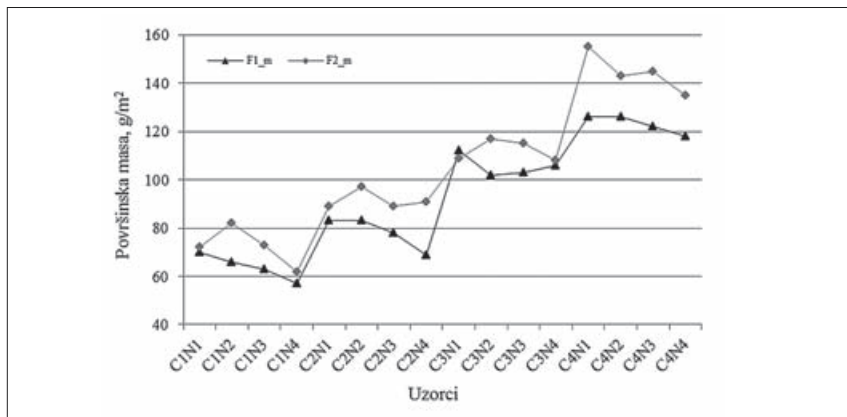
Pletiva koja imaju pokrivni faktor do 12 često su vrlo porozna i koriste se kod izrade lagane proljetne odjeće. Pletiva s pokrivnim faktorom 12 do 14 smatraju se kvalitetnim pletivima s optimalnom poroznošću i koriste se pri izradu kvalitetnih ljetnih majica. Punija i manje porozna pletiva imaju pokrivni faktor iznad 14 i ovakva se pletiva koriste za izradu različitih jesensko/zimskih majica.

Linearni modul očice, ukošenosti nizova očica i spiralnosti pletiva

Linearni modul očice, tj. odnos duljine niti u očici i debljine niti, ovisan je o dubini kuliranja i napetosti niti kod

pletenja [12, 30, 31]. Budući da su u ovim istraživanjima sva pletiva ispletena s istom dubinom kuliranja, samo je napetost prede na ulasku u pletači sustav utjecala na linearni modul očice koji je u rasponu od 18,3 do 26,9 (tab.6). Najmanji linearni modul očice iznosi 16,6 i ima ga veoma zbijeno pletivo koje također ima smanjenu rastezljivost. Praktički najveći linearни modul očice se tolerira do 30, a pletivo se koristi za lagana poroznu, najčešće ljetnu odjeću. Linearni moduli očica dobiveni u ovim istraživanjima su u optimalnim praktičnim granicama. Veći su kod preda nizvine finoće 14 i 16 tex, nego kod preda finoće 20 i 25 tex. Također su 4,8 do 10,0 % veći kod pletiva ispletene s manjom napetosti prede tijekom pletenja.

Spiralnost pletiva ili ukošenost nizova očica (α) u odnosu na uzdužnu os pletiva ovisi o mnogim parametrima [32-35]. U prvom redu o smjeru rotacije cilindra stroja i smjera uvijanja prede, te o strukturi i broju preda koje se upliču u red pletiva. Kada nema spiralnosti pletiva, niz očica je usporedan s rubom pletiva. Ukošenost nizova očica može biti na lijevo ili desno, tj. dolazi do pojave pozitivne ili negativne spiralnosti pletiva. Smjer ukošenosti nizova očica uglavnom je određen smjerom uvijanja prede; kada se plete predom Z smjera uvijanja tada su nizovi očica ukošeni u desnu, a kada se plete predom S smjera uvijanja nizovi su ukošeni



Sl.8 Površinska masa pletiva (m) proizvedenih s različitim finoćama i napetostima prede na ulazu u pletači sustav

na lijevu stranu [34]. Istraživanje utjecaja finoće prede, broja uvoja i zbijenosti pletiva na spiralnost pokazuju da su smjer uvijanja prede i zbijenost pletiva dominantni faktori koji utječu na spiralnost pletiva [35].

Na ispitanim uzorcima ukošenost nizova očica nalazi se pod kutom od 67 do 77°, tj. pletivo ima negativnu spiralnost u iznosu -13 do -23° (tab.6, sl.7). Pletenjem s grubljinim predama i većim napetostima prede dobila se manja spiralnost pletiva.

Regresijska krivulja „spiralnost-finoća prede“ sa dvije napetosti prede križaju se u točki -20,3° za spiralnost i 15,6 tex za finoću prede (sl.7). Odnosno, dobivena su dva područja poнаšanje pletiva s obzirom na spiralnost. Praktički to znači da pletenjem s grubljinim predama od 15,6 tex i sa napetostima prede prilikom pletenja od 0,4 cN/tex dobiva manja spiralnost pletiva koja se izrazito smanjuje, odnosno da je prede finoće veće od 15,6 tex potrebno pleti s manjom dubinom kuliranja.

Površinska masa pletiva

Površinska masa pletiva određivana je eksperimentalno. Mjerena je duljina i širina izrađenog uzorka te je izračunata površina uzorka, potom je izvagan, te se iz dobivenih vrijednosti izračunala površinska masa pletiva. Poznato je da se pri pletenju na jednom stroju i pri jednoj dubini kuliranja s grubljinim predama dobiju masivnija pletiva. Također je poznato da

mnogi parametri utječu na površinsku masu pletiva [36-38]. Uzorci izrađeni predama finoće 14 tex i njenom napetosti na ulazu u pletači sustav 0,15 cN/tex (vlačna sila oko 2 cN) daju najmanju površinsku masu koja prosječno iznosi 64 g/m² (tab.6, sl.8). Pri pletenju s grubljinim predama, tj. predom finoće 25 tex i većom napetosti prede, tj. napetosti 0,4 cN/tex (vlačna sila oko 10 cN), dobije se znatno veća površinska masa koja prosječno iznosi 145 g/m², više nego dvostruko u odnosu na prede finoće 14 tex. S povećanjem napetosti prede povećava se i površinska masa pletiva 5,6 do 17,9 %. Za rezultate površinske mase bitno je da se pri pletenju s manjom napetosti prede i s povećanim iščeskom u načelu blago smanjuje površinska masa pletiva. Kod povećane napetosti prede ova promjena nije tako uočljiva već je varijabilnija.

Zapreminska masa i poroznost pletiva

Zapreminska masa pletiva (V_m) predstavlja odnos površinske mase pletiva i njegove debljine. Računala se po jednadžbi 9 i u ovim istraživanjima se nalazi u području 0,090 do 0,172 g/cm³. Budući da su uzorci pletiva izrađeni pri jednoj dubini kuliranja, pletenjem s finijim predama dobila se manja zapreminska masa pletiva. S povećanjem ulazne napetosti prede povećava se površinska masa i debljina pletiva pa se tako povećava i za-

preminska masa pletiva, i to 5,1 do 8,7 %. Jedino je kod prede finoće 20 tex manja 1,3 %. Različiti postotak iščeska prede istih finoća nema značajan utjecaj na zapreminsку masu pletiva.

Masena poroznost pletiva predstavlja udio šupljina u pletivu izraženih u postocima [19, 31]. Na poroznost pletiva utječe finoća prede, duljina niti u očici i debljina pletiva [9]. Utjecaj duljine niti u očici na poroznost je veći nego gustoća u smjeru redova i nizova i debljina pletiva [32]. Na osnovi zapreminske mase i gustoće vlačana izračunala se po jednadžbi (10) masena poroznost pletiva, koja za ispitane uzorce desno-lijevih kulirnih pletiva iznosi od 88,8 do 94,2%. Očito je veća kod pletenja s manjom napetosti niti na ulazu u pletači sustav.

5. Zaključak

U ovim istraživanjima najlaganija pletiva imaju površinsku masu 57 g/m² izrađena su s najfinijim predama, tj. predama finoće 14 tex s 20 % iščeska, pri čemu je napetost prede na ulazu u pletači sistem iznosi 0,15 cN/tex. Najmasivnija pletiva imaju površinsku masu 155 g/m² izrađena su s najgrubljinim predama koje su imale finoću 25 tex s 14 % iščeska, pri čemu je napetost prede na ulazu u pletači sistem iznosi 0,4 cN/tex. Prema tome, finoća i napetost prede u procesu pletenja povećavaju površinsku masu i do 2,7 puta.

Nema značajne razlike u horizontalnoj gustoći pletiva pletenih s napetostima niti od 0,15 cN/tex i 0,40 cN/tex. Ova se gustoća nalazi u granicama 9,0 do 10,1 oč./cm, ili prosječno 9,5±0,5 oč./cm što je u granicama dozvoljnih praktičnih odstupanja. S povećanjem ulazne napetosti prede vertikalna se gustoća značajno povećava i to od 10 do 22 %. Kod svih uzoraka je vidljivo da je računski dobivena duljina niti u očici manja oko 6,5 % od eksperimentalno određene. Ako se žele dobiti manje razlike između eksperimentalnih i računskih podata-

ka tada bi trebalo koristiti jednadžbu koja preciznije opisuje analiziranu strukturu pletiva, odnosno koja razmatra očicu smještenu u prostoru, pri čemu bi značajan parametar bio debљina pletiva.

Pletiva izrađena s grubljim pređama i većom napetošću niti kod pletenja imaju veći pokrivni faktor, odnosno napetost niti tijekom pletenja utječe na poroznost i punoću strukture pletiva.

Linearni modul očice je zančajno veći kod izrade plativa s finijim pređama, dok je neznatno manji kod pletenja s većim napetostima pređa i u cjelokupnim istraživanjima se nalazi u području 18,3 do 26,9.

Smanjenjem finoće pređe sa 14 tex na 25 tex te pletući s napetosti niti od 0,15 cN/tex i 0,40 cN/tex spiralnost pletiva se smanjuje od -22° do -15°. Prema tome, pri pletenju na jednom stroju i jednoj dubini kuliranja s povećanjem finoće pređe povećava se i spiralnost pletiva. Pri pletenju s većom napetostu niti na ulazu u pletači sustav spiralnost pletiva se neznatno smanjuje jer se povećava zbijenost očica u nizu. S povećanjem postotka iščeska pređe, spiralnost pletiva ima tendenciju malog, ne toliko značajnog smanjenja.

Rad je dio istraživanja sa znanstveno-istraživačkog projekta Ministarstva znanosti, obrazovanja i športa RH: „Višefunkcionalni tehnički netkani i pleteni tekstil, kompoziti i pređe“, šifra: 117-0000000-2984.

Literatura:

- [1] Skenderi Z., M. Srdjak, D. Kopitar: Impact of Combing Noil Percentage on Physical-mechanical Properties of Cotton Yarn, Fibrous materials XXI century, 23-28. 05.2005 St. Petersburg, Rusija.
- [2] Skenderi Z., D. Raffaelli, V. Orešković: Promjene kvalitete pamučnih vlakana u proizvodnji češljane pređe, *Tekstil* 37 (1988) 6, 349-355
- [3] Marmarali Bayazit A.: Dimensional and physical properties of cotton/spandex single jersey fabrics. *Textile Research Journal*, 72 (2003) 2, 164-169
- [4] Knapton J.J.F., D.L. Munden: A Study of the Mechanism of Loop Formation on Weft-Knitting Machinery Part II: The Effect of Yarn Friction on Yam Tensions in Knitting and Loop Formation, *Textile Research Journal* 12 (1966) 12, 1081-1091
- [5] Srinivasulu K., M. Sikka, J. Hayavadana: Study of loop formation process on 1 1 V-bed rib knitting machine part 1: A mathematical model for loop length. *IJTFT* 3 (2013) 2, 1-14
- [6] Majumdar A., A. Das, R. Alagirusamy, V.K. Kothari: Process control in textile manufacturing, (IndiaWoodhead Publishing), 2012
- [7] Koo Y.S.: Correlation of yarn tension with parameters in the knitting process, *Fibers and Polymers* 3 (2002) 2, 80-84
- [8] Chattopadhyay R., D. Gupta, M. Bera: Effect of input tension of inlay yarn on the characteristics of knitted circular stretch fabrics and pressure generation, *Journal of the Textile Institute* 103 (2012) 6, 636-642
- [9] Čiukas R., J. Abramavičiūtė: Investigation of the Air Permeability of Socks Knitted from Yarns with Peculiar Properties, *Fibres & Textiles in Eastern Europe* 18 (2010) 1, 84-88
- [10] Abramavičiūtė J., D. Mikučionienė, R. Čiukas: Structure Properties of Knits from Natural Yarns and their Combination with Elastane and Polyamide Threads, *Materials Science and Engineering* 17 (2011) 1, 43-46
- [11] Mikučionienė D., E. Arbataitis: Comparative analysis of the influence of bamboo and other cellulose fibres on selected structural parameters and physical properties of knitted fabric, *Fibres & Textiles in Eastern Europe* 99 (2013) 3, 76-80
- [12] Dalidović A.S.: Osnovi teorii vjazanja, Lehkaja industrija, Moskva 1970.
- [13] Vrljičak Z.: Kritički osvrt na analizu parametara strukture kulirnih pletiva, *Tekstil* 48(1999.) 4, 181-187
- [14] Besker M. i sur.: Projektiranjem duljine očice do kvalitetnijeg pletiva, *Tekstil* 45(1996.) 5, 263-268
- [15] Čiukas R., J. Abramavičiūtė, P. Kerpauskas: Investigation of the thermal properties of socks knitted from yarns with peculiar properties, Part II: Thermal resistance of socks knitted from natural and stretch yarns, *Fibres & Textiles in Eastern Europe* 86 (2011) 3, 64-68
- [16] ASTM D 1284-87
- [17] AATCC 99-1993
- [18] Skenderi Z., P. Perić, V. Orešković: Utjecaj vlačne sile na promjenu promjera pamučne pređe, *Tekstil* 40 (1991.) 11, 515-521
- [19] HRN ISO 2060:2013
- [20] ISO 17202:2002
- [21] ISO 16549:2004
- [22] ISO 2062:2009
- [23] ASTM D5647 - 07(2012)
- [24] BS 5441:1998
- [25] DIN EN 14970
- [26] ISO EN 5084:2003
- [27] Singh G., K. Roy, R. Varshney, A. Goyal: Dimensional parameters of single jersey cotton knitted fabrics, *IJFTR* 36 (2011) 6, 111-116
- [28] Banerjee P.K., T.S. Alaiban: Geometry and Dimensional Properties of Plain Loops Made of Rotor Spun Cotton Yarns: Part II: Area and Linear Parameters, *Textile Research Journal* 58 (1988) 4, 214-221
- [29] Pavko Čuden A., J. Angelova, A. Hladnik: Influence of process and structural parameters of elasticised knitted fabrics on loop length, *Tekstil* 60 (2010) 2-3, 57-64
- [30] Ichetaonye S.I., D.N. Ichetaonye, M.M. Owen, A. Awosanya, J.C. Dim: Effect of stitch length on the physical properties of (3x1, 4x1, 5x1, 6x1) rib knitted fabrics, *International Journal of Fiber and Textile Research* 3 (2013) 4, 63-65
- [31] Bhattacharya S.S., J.R. Ajmeri: Air Permeability of Knitted fabrics made from Regenerated Cellulosic fibres, *IJERD* 10 (2013) 7, 16-22
- [32] Kothari V.K., G. Singh, K. Roy, R. Varshney: Spirality of cotton plain knitted fabrics with respect to variation in yarn and machine parameters, *IJFTR* 36 (2011) 3, 227-233
- [33] Araujo M.D., G.W. Smith: Spirality of Knitted Fabrics, Part I: The Nature of Spirality, *Textile Research Journal* 59 (1989) 5, 247-256

- [34] Araujo M.D., G.W. Smith: Spiral-
ity of Knitted Fabrics, Part II: The
Effect of Yarn Spinning Technol-
ogy on Spirality, *Textile Research
Journal* 59 (1989) 6, 350-35
- [35] Vrljičak Z.: Uzroci spiralnosti ple-
tiva, *Tekstil* 54 (2005.) 11, 548-557
- [36] Zhang J., J. Li: Influence of Twist-
ing Ratio and Loop Length on
Loop Deflection of Flat Fabrics,
Modern Applied Science 2 (2008)
3, 32-37
- [37] Tao J., R.C. Dhingra, C.K. Chan,
M.S. Abbas: Effects of yarn and
fabric Construction on Spirality of
Cotton Single Jersey Fabrics, *Tex-
tile Research Journal* 67 (1997) 1,
57-68
- [38] Degirmenci Z., M. Topalbekiroglu:
Effects of Weight, Dyeing and
the Twist Direction on the Spirali-
ty of Single Jersey Fabrics, *Fibres
& Textils in Eastern Europe*, 18
(2010) 3, 81-85

SUMMARY

Impact of yarn count, noil percentage and yarn tension on structure of jersey fabric

Z. Vrljicak, D. Kopitar, Z. Skenderi

Using the combed cotton spinning route, a number of yarns from Egyptian cotton Giza 75 FG with counts of 14.3, 16.7, 20.0 and 25.0 tex were spun. Each of the yarns were spun with a higher twist factor and different noil percentage of 14, 16, 18 and 20 %. The yarns are being used to knit two groups of plain single jersey fabrics on a small diameter single bed circular knitting machine with two different yarn tensions at the knitting zone. The first group of samples was knitted with a usual yarn tension used in making knitted fabrics underwear (0.15 cN/tex), while the other group of samples was knitted with a higher tension (0.40 cN/tex). The measurements are statistically analyzed and tested.

Key words: combed cotton yarn, noil percentage, single jersey fabric, yarn tension, parameters

University of Zagreb, Faculty of Textile Technology

Department of Textile Design and Management

Zagreb, Croatia

e-mail: zlatko.vrljicak@ttf.hr

Received March 10, 2015

Einfluss der Garnfeinheit, des Kämmlingsprozentes und der Garnspannung auf die Struktur der glatten Rechts-Links Kulierware

Unter Verwendung des klassischen Spinnvorgangs auf der Ringspinnmaschine wurden Garne aus ägyptischer Giza 75 FG Baumwolle mit Feinheiten 14,3, 16,7, 20,0 und 25,0 tex versponnen. Jedes der Garne wurde mit einem höheren Drehungsfaktor und einem verschiedenen Kämmlingprozentsatz von 14, 16, 18 und 20 % gesponnen. Die Garne wurden zum Verstricken von zwei glatten Rechts-Links Kulierwaren auf einer Einbett-Rundstrickmaschine mit kleinem Durchmesser mit zwei unterschiedlichen Garnspannungen in der Strickzone eingesetzt. Die erste Gruppe von Mustern wurde mit üblicher Garnspannung bei der Herstellung solcher Gestricke (0,15 cN/tex) hergestellt, während die zweite Gruppe von Mustern mit höherer Garnspannung (0,40 cN/tex) hergestellt. Die Messungen wurden statistisch analysiert und getestet.